

# تحلیل جریان در همزن جریان آرام

نوروز محمدنوری (استادیار)

فرشاد مظفری (کارشناس ارشد)

دانشکده‌ی مهندسی مکانیک، دانشگاه علم و صنعت ایران

برخلاف تصور رایج می‌توان دو سیال را، صرف نظر از اثر پخش مولکولی، توسط جریان آرام نیز باهم مخلوط کرد. در این نوشتار با معرفی یک همزن جریان پتانسیل، متشکل از دو گردابه که با قدرت‌های نوسانی در فضای نامحدود فعالیت می‌کنند، چگونگی این امر را نشان داده و متغیرهایی را که منجر به اختلاط بهینه دو سیال در همزن مورد نظر می‌شووند معرفی کرده‌ایم. این تحقیق بر پایه‌ی نظریه‌ی آشوب قرار گرفته است. به منظور تعیین ویژگی‌های اختلاط، به‌ازای متغیرهای مختلف مقاطع، پوانکاره همزن ارائه شده‌اند. بر اساس این مقاطع، ابتدا ساختار جریان در همزن مورد بررسی قرار گرفته است و سپس متغیرهای بهینه مشخص شده‌اند.

## مرور فعالیت‌های تحقیقاتی

ولادمیر آی آرنولد، شاید نخستین کسی باشد که ایده ارتباط بین تئوری آشوب و جریان سیالات را مطرح نموده است. بنابر نظر هنون، ستاره‌شناس فرانسوی، آرنولد برای اولین بار این ایده را در سال ۱۹۶۵ مطرح کرد. سپس هنون، با پی‌گیری آن نشان داد که در جریان سه‌بعدی پایدار و غیر لزج، می‌توان برای ذرات سیال مسیرهای آشوبناکی ایجاد کرد.<sup>[۱]</sup>

در سال ۱۹۸۴، عارف در مقاله‌یی نشان داد که معادلات مسیر ذرات سیال در جریان دو بعدی غیر لزج هامیلتونی‌اند. او با ارائه‌ی یک مثال نشان داد که سیستم‌های هامیلتونی، تحت اثر نیروهای پریودی می‌توانند برای ذرات سیال مسیرهای آشوبناک ایجاد کنند.<sup>[۲]</sup> عارف بهمراه جوائز در سال ۱۹۸۸ مقاله‌یی دیگر منتشر کرده و در آن استقلال فرایند اختلاط را از چرخش<sup>۳</sup> (گردابه) بیان کرده است.<sup>[۴]</sup>

اتینیو، در سال ۱۹۸۹، در مقاله‌یی به چگونگی استفاده از نظریه‌ی آشوب در اختلاط سیالات پرداخته است. او در این مقاله نقاط قوت و ضعف این تئوری را برای بررسی اختلاط در سیالات مطرح کرده است. او در ضمن تلاش کرده تا مفاهیم این نظریه را برای استفاده در این زمینه بهینه کند.<sup>[۵]</sup>

در سال ۱۹۹۵، چنیس و رینال بدیل پیچیدگی رفتار سیال در همزن جریان استوکس مورد نظر خود، همزن جریان پتانسیل (مورد تحقیق این مقاله) را به عنوان الگوی ساده‌تر رفتار سیال در آن همزن

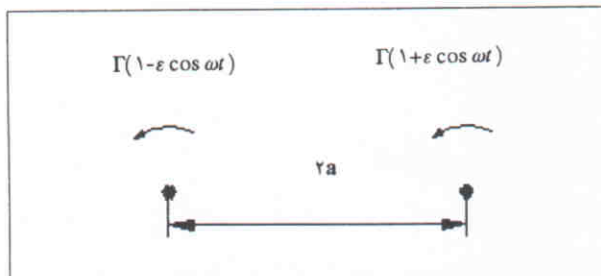
## مقدمه

حدود یک قرن پیش، رینولدز اختلاط<sup>۱</sup> در سیالات را کشیده شدن و تاشدن<sup>۲</sup>‌های مکرر نوارهای سیال تعریف کرد.<sup>[۶]</sup> این تعریف که در آن زمان دور از تصور بود، اکنون نیز در نگاه اول قابل قبول به نظر نمی‌رسد؛ ولی یکی از روش‌های جدید اختلاط سیالاتی است که عدد اشمیت بزرگ دارند. اصولاً سیالات رامی‌توان به دو روش متفاوت با هم مخلوط کرد:

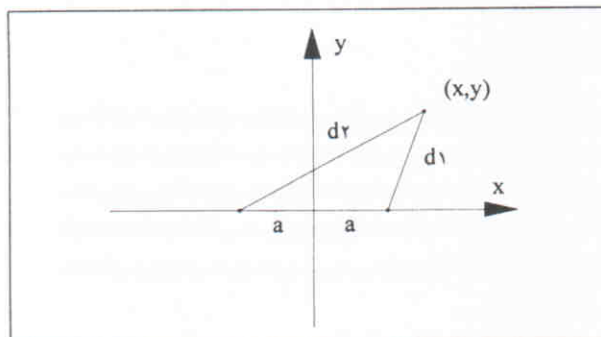
۱. پخش مولکولی؛
۲. استفاده از ویژگی‌های سینماتیکی جریان.

اگر چه پخش مولکولی روشی آشنا و متداول است؛ ولی چنان قابل کنترل نیست. علاوه بر آن این روش برای سیالاتی که عدد اشمیت بزرگ داشته باشند کارآیی مناسبی ندارد. در عوض استفاده از ویژگی‌های سینماتیکی جریان، اگر چه چناند متداول نیست، ولی برای اختلاط در این سیالات کارآیی مناسبی دارد. براساس این روش می‌توان همزن<sup>۳</sup>‌هایی را طراحی کرد که اختلاط را توسط جریان آرام<sup>۴</sup> انجام می‌دهند. این امر از آن جهت مهم است که جریان آرام در امر اختلاط، از نظر صرف‌جویی در انرژی، بر جریان توربولنت ارجح است.<sup>[۷]</sup>

این نوشتار به بررسی رفتار سیال در یک همزن جریان پتانسیل می‌پردازد. در این تحقیق متغیرهای مؤثر بر رفتار سیال و ساختار جریان در همزن مورد بحث قرار گرفته‌اند، و مقادیری که به‌ازای آنها بهترین اختلاط در همزن صورت می‌گیرد نیز تعیین شده‌اند.



شکل ۱. شماتیک از همزن جریان پتانسیل.



شکل ۲. چگونگی تعیین مقدار مقدار تابع جریان در نقطه دلخواه.

$$\begin{cases} u = \frac{dx}{dt} = -\frac{\partial \Psi}{\partial y} \\ v = \frac{dy}{dt} = \frac{\partial \Psi}{\partial x} \end{cases} \quad (7)$$

در معادلات شماره ۷ و ۷ به ترتیب مؤلفه‌های افقی و عمودی سرعت در هر نقطه از سیال و در هر زمان دلخواه‌اند. با جایگذاری  $\Psi$  از معادله ۶ در معادلات ۷ و ۷ نتیجه‌ی زیر بدست می‌آید:

$$\begin{cases} u = \frac{-\Gamma y}{\pi} \left[ \frac{y^2 + x^2 + a^2}{N} + \frac{2ax}{N} \varepsilon \cos(\omega t) \right] \\ v = \frac{\Gamma}{\pi} \left[ \frac{x(y^2 + x^2 - a^2)}{N} + \frac{a(x^2 - y^2 - a^2)}{N} \varepsilon \cos(\omega t) \right] \\ N = y^2 + 2(x^2 + a^2)y^2 + (x^2 - a^2)^2 \end{cases} \quad (8)$$

### بی‌بعدسازی معادلات

برای جامعیت بخشیدن به نتایج، باید معادلات ۸ بی‌بعد شوند. متغیرهای بی‌بعد به صورت زیر تعریف شده‌اند:

$$x' = \frac{x}{a} \quad (9)$$

$$y' = \frac{y}{a} \quad (10)$$

$$t' = \omega t \quad (11)$$

با جایگذاری معادلات ۹، ۱۰ و ۱۱ در معادله ۶ این معادله به

برگزیدند. آنان بر اساس روش ملنیکوف کارایی همزن را برای اغتشاش‌های کوچک به صورت نظری بررسی کردند.<sup>[۵]</sup> در ضمن تحقیقاتی نیز پیرامون ریخت شناسی<sup>۶</sup> ساختار جریان در همزن‌ها صورت گرفته است؛ که از آن جمله می‌توان به تحقیقات اتینو و همکارانش اشاره کرد.<sup>[۶]</sup>

### طرح مسئله

در این همزن دو گردابه<sup>۷</sup>، با قدرت‌های پریودی در سیال نامحدود فعالیت می‌کنند. جریان حاصل از این فعالیت، دو بعدی و پتانسیل است. از اثر پخش مولکولی در سیال صرف نظر شده است شکل ۱. در این شکل  $\Gamma$ ،  $\varepsilon$ ،  $t$ ،  $a$  و  $\omega$  به ترتیب قدرت گردابه، متغیر اغتشاش، فرکانس زاویه‌یی اغتشاشات، زمان و نصف دو گردابه‌اند.

### یافتن معادلات حاکم بر میدان سرعت

برای یافتن معادلات حاکم بر میدان سرعت، ابتدا باید تابع جریان<sup>۸</sup> برای سیال داخل همزن تعیین شود. شکل ۲ و محاسبات پس از آن چگونگی تعیین تابع جریان را نشان می‌دهند.

اگر  $P$  نقطه‌ی دلخواهی در سیال باشد و فاصله‌ی آن از دو گردابه به ترتیب با  $d_1$  و  $d_2$  نشان داده شود، می‌توان مقدار تابع جریان در نقطه‌ی  $P$  را مجموع مقادیر تابع حاصل از هر گردابه در نقطه‌ی  $P$  دانست.

$$d_1 = [(x-a)]^2 + y^2 \quad (1)$$

$$d_2 = [(x+a)]^2 + y^2 \quad (2)$$

$$\Psi_1 = \frac{\Gamma(1+\varepsilon \cos \omega t)}{2\pi} \ln d_1 \quad (3)$$

$$\Psi_2 = \frac{\Gamma(1-\varepsilon \cos \omega t)}{2\pi} \ln d_2 \quad (4)$$

$$\Psi = \Psi_1 + \Psi_2 \quad (5)$$

$$\begin{aligned} \Psi = & \frac{\Gamma}{4\pi} \{ \ln[(x+a)]^2 + y^2 \\ & + \ln[(x-a)]^2 + y^2 \} \end{aligned} \quad (6)$$

$$+ \ln \left[ \frac{(x-a)^2 + y^2}{(x+a)^2 + y^2} \right] \varepsilon \cos(\omega t) \}$$

اکنون برای یافتن میدان سرعت، کافی است از معادله ۶ مشتق گرفته شود.

خود جذب می‌کند و در دو جهت نیز تمام نقاط را از خود می‌راند. دو جهتی که در راستای آنها سیال به سوی نقطه‌ی هیپربولیک جذب می‌شود، مانیفلدهای پایدار<sup>۱۰</sup> و دو جهتی که در راستای آنها سیال از نقطه‌ی هیپربولیک دور می‌شوند مانیفلدهای ناپایدار<sup>۱۱</sup> نقطه‌ی مورد نظر هستند. شکل ۴ رفتار سیال را در نزدیکی نقطه‌ی مورد نظر نشان می‌دهد.

در صورتی که  $\omega = \infty$  (اغتشاش وجود داشته باشد)، مانیفلدهای

پایدار و ناپایدار یک نقطه‌ی هیپربولیک، می‌توانند یکدیگر را قطع کنند. در این صورت، نقطه‌ی تقاطع، نقطه‌ی هوموکلینیک<sup>۱۲</sup> نام دارد. وجود هر نقطه‌ی هوموکلینیک به معنی وجود بی‌شمار نگاشت نعل اسپی<sup>۱۳</sup> است.<sup>[۱]</sup> این نگاشت ابتدا المان‌های سیال را می‌کشد، سپس آنها را روی هم تا می‌کند. بنابر تعریفی که رینولدز از اختلاط سیالات ارائه داده است، ابتدا در سیال ساختار لایه‌ی ایجاد می‌شود و در نهایت اختلاط صورت می‌گیرد.<sup>[۱]</sup> به این ترتیب با ایجاد اغتشاش در میدان سرعت، می‌توان در سرعت‌های کم نیز سیالات را باهم مخلوط کرد.

### مقاطع پوانکاره

برای تعیین مقاطع پوانکاره، ابتدا  $441 \times 441$  نقطه با آرایش مربع و به فواصل یکسان از یکدیگر در فاصله‌ی  $\times [0/0 \times 0/0 \times 0/0 \times 0/0]$  انتخاب شدند و برنامه برای محاسبه مقاطع مربوط به  $10 \times 10 \times 10$  سیکل نوسانی اجرا شد. متأسفانه زمان لازم برای این محاسبات، برای یک ریزپردازنده‌ی  $200 \text{ MHz}$  مگاهرتزی، به قدری طولانی بود (در حدود یک روز و بیشتر) که در عمل با توجه به مقاطع موردنیاز باعث عدم کارایی این روش می‌شد. علاوه بر این، مقاطع پوانکاره مربوط به  $10 \times 10 \times 10$  سیکل نوسانی، واضح قابل قبولی ندارند. با افزایش تعداد سیکل‌ها نیز، مشکل زمان طولانی محاسبات پیچیده‌تر می‌شود.

برای حل این مشکل، روشی که عارف در سال ۱۹۸۴ استفاده کرده برگزیده شد.<sup>[۷]</sup> ابتدا  $20 \times 20$  نقطه با فواصل مساوی در ناحیه‌ی  $2 \times 2$  روی محور  $y$  انتخاب شدند، سپس مقاطع پوانکاره‌ی همزن به ازای  $200 \times 200 \times 200$  سیکل نوسانی محاسبه شدند (این مقاطع در پیوست ارائه شده‌اند). این روش علاوه بر این که می‌تواند ساختار دینامیکی جریان خارج از ناحیه‌ی اختلاط<sup>۱۴</sup> را نیز نمایش دهد، از زمان محاسبات نیز می‌کاهد.

### بررسی ساختار جریان

بارجou به شکل ۵ که نمونه‌ی از مقاطع پوانکاره (به ازای  $2 \times 2 \times 2$ ) را نشان می‌دهد، می‌توان سیال داخل همزن را به دو بخش

شکل زیر بی‌بعد می‌شود:

$$\begin{cases} u' = \frac{-Iy'}{\omega a^2 \pi} \left[ \frac{y'^2 + x'^2 + 1}{N'} + \frac{2x'}{N'} \epsilon \cos(t') \right] \\ v' = \frac{\Gamma}{\omega a^2 \pi} \left[ \frac{x'(y'^2 + x'^2 - 1)}{N'} + \frac{x'^2 - y'^2 - 1}{N'} \epsilon \cos(t') \right] \\ N' = y'^4 + 2(x'^2 + 1)y'^2 + (x'^2 - 1)^2 \end{cases} \quad (12)$$

در معادلات ۱۲،  $I$  که میان قدرت بی‌بعد شده‌ی گردابه است،

به صورت زیر تعریف می‌شود:  
(13)

$$\Gamma' = \frac{\pi a^2}{\Gamma}$$

البته  $\Gamma'$  را به صورت زیر می‌توان نوشت:

$$\Gamma' = \frac{\frac{1}{\omega}}{\frac{\pi a^2}{\Gamma}} \quad (14)$$

در این صورت، با توجه به این که  $\frac{1}{\omega}$  میان زمان مشخصه‌ی جریان اغتشاشی است و  $\frac{\pi a^2}{\Gamma}$  نیز میان سرعت مشخصه‌ی جریان زمینه است، نسبت زمان مشخصه‌ی جریان اغتشاشی به زمان مشخصه‌ی جریان زمان خواهد بود.

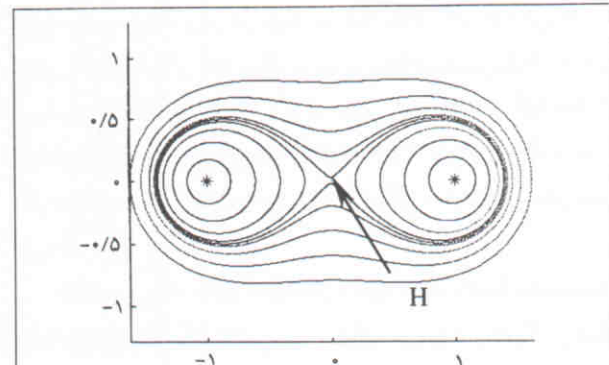
### ردگیری ذرات سیال

برای تعیین رفتار سیال، باید مقاطع پوانکاره‌ی همزن تعیین شوند. برای تعیین این مقاطع، ابتدا تعدادی نقطه در سیال انتخاب می‌شوند و پس از هر پریود (معادل  $2\pi$  رادیان) محل آنها روی صفحه‌ی مختصاتی  $-y$ - $x$  ثابت می‌شود. بدینهی است برای ردگیری مسیر هر ذره‌ی سیال، دستگاه معادلات ۱۲ باید برای  $x$  و  $y$  حل شود. متأسفانه این دستگاه حل تحلیلی ندارد؛ بنابراین باید آن را به ازای شرایط اولیه‌ی مشخص به روش عددی حل کرد. برای تثبیت دقت محاسبات، با توجه به موقعیت ذره در سیال، باید طول گام محاسبات تغییر کند. این امر لزوم استفاده از روش‌های حل عددی با طول گام متغیر را نشان می‌دهد. برای این منظور الگوریتم آدامز- بشفس- مولتون با تولرانس  $10^{-8}$  انتخاب شد. این محاسبات توسط نرم‌افزار مطلب (Matlab) انجام شده‌اند. الگوریتم مورد نظر به صورت یک M-فایل با نام ode113 در این نرم‌افزار موجود است.

برای بررسی دقت این روش، چند نقطه در سیال انتخاب شدند و مسیر آنها به ازای  $= 4$  در سیال ردگیری شد. در این حالت، مسیر حرکت ذرات بر خطوط جریان منطبق است و انتظار می‌رود مسیرهای حرکت منحنی‌های بسته‌ی باشند. شکل ۳ دقت محاسبات را نشان می‌دهد. در شکل ۳ نقطه‌ی هیپربولیک<sup>۹</sup> در دو جهت تمام نقاط را به سوی

در حوزه‌ی تأثیر نقاط بیضوی قرار گرفته، نمی‌تواند با سیال اطراف مخلوط شود و محدود به همان ناحیه باقی خواهد ماند. بنابراین برای حفظ بازدهی اختلاط باید از ظهور نقاط بیضوی در ناحیه‌ی اختلاط جلوگیری شود.

این همزن دارای یک نقطه‌ی بیضوی مرتبه ۳ است که در شکل نشان داده شده است. گردابه‌ها نیز خود دو نقطه‌ی بیضوی‌اند؛ ولی برخلاف مورد اول متاسفانه در میان ناحیه‌ی اختلاط قرار گرفته‌اند. البته نقاط بیضوی دیگری نیز وجود دارند؛ ولی بدلیل آن‌که به‌ازای متغیرهای خاص به وجود می‌آیند، چندان قابل توجه نیستند.



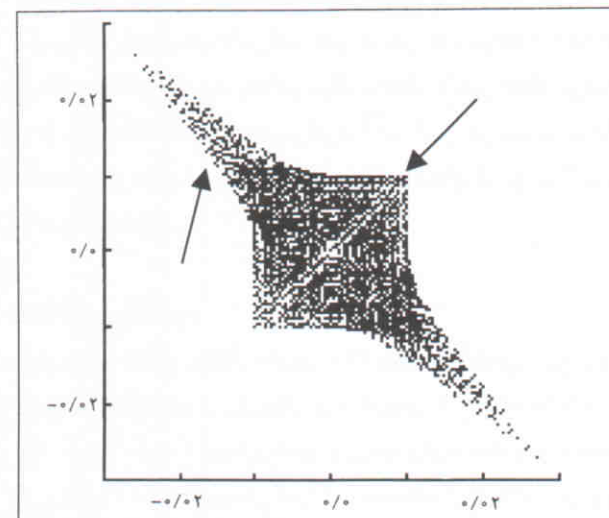
شکل ۳. بسته‌بودن خطوط جریان به‌ازای  $\Gamma = 4$ ، دقت محاسبات را نشان می‌دهد.

#### تعیین متغیرهای بهینه

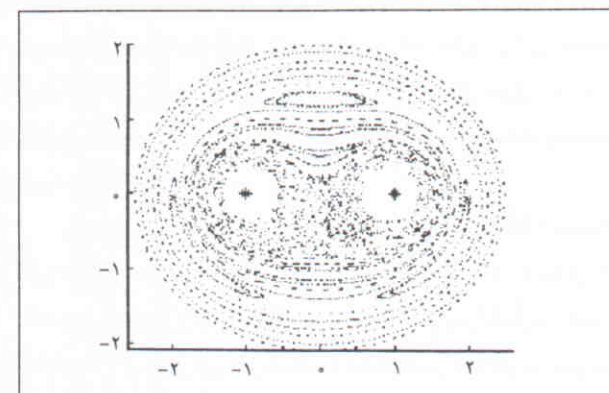
از بررسی مقاطع پوانکاره می‌توان دریافت که افزایش  $\Gamma$  موجب رشد ناحیه‌ی اختلاط می‌شود. این رشد به صورت حرکت مرزهای ناحیه‌ی اختلاط به بیرون و کاستن از حوزه‌ی تحت تأثیر گردابه‌های است. در بازه  $\Gamma \in [1/6, 1/2]$  یک نقطه‌ی بیضوی در میان ناحیه‌ی اختلاط به وجود می‌آید؛ که افزایش  $\Gamma$  از حوزه‌ی تحت تأثیر این نقطه نیز می‌کاهد (برای نمونه به‌ازای  $\Gamma = 1/6$  و  $\Gamma = 1/2$  این نقطه از بین رفته است). با این حال افزایش  $\Gamma$  مقاومت حوزه‌ی تحت تأثیر این نقطه را در برای افزایش  $\Gamma$  بدشت افزایش می‌دهد؛ به‌گونه‌یی که برای حذف این حوزه  $\Gamma$  باید آن قدر بزرگ انتخاب شود که دیگر مفهوم اغتشاشی خواهد داشت.

در صورتی که اغتشاش‌ها کوچک باشند، برای تعیین  $\Gamma$  بهینه، می‌توان از روش ملنیکوف (Melnikov) استفاده کرد. بنابر نتایج حاصل از این روش، ناحیه‌ی اختلاط به ازای  $\Gamma = 1/2$  حداقل مساحت را خواهد داشت.<sup>[۵]</sup> در مقاطع پوانکاره‌یی که در این مقاله آرائه شده‌اند، برای اغتشاش‌های کوچک بازه  $\Gamma \in [1/5, 1/2]$  بازه بهینه است. ظاهراً  $\Gamma = 1/5$  بسیار  $\Gamma = 1/2$  ارجحیتی ندارد، اما از دیدگاه سرعت اختلاط،  $\Gamma = 1/5$  متناسب‌تر است. با رشد اغتشاشات (افزایش  $\Gamma$ )، تنها گزینه‌ی مناسب  $\Gamma = 1/5$  خواهد بود. بنابراین می‌توان نتیجه گرفت که در بازه‌ی اغتشاشات مورد مطالعه  $\Gamma \in [1/5, 1/2]$  فرایند اختلاط را بهینه خواهد کرد. به‌یان دیگر، هنگامی عملکرد این همزن بهینه می‌شود که زمان مشخصه‌ی اغتشاشات  $\Gamma = 1/5$  برابر زمان مشخصه‌ی جریان زمینه باشد.

همان‌طور که پیشتر اشاره شد، در بازه‌ی  $\Gamma \in [1/6, 1/2]$  تولد و رشد یک نقطه‌ی بیضوی در میان ناحیه‌ی اختلاط دیده می‌شود. این نقطه سیال اطراف خود را به دام می‌اندازد و آن را از سیال اطراف جدا می‌کند. این امر با هدف اختلاط در سیال تناقص دارد. به‌همین دلیل بازه‌ی  $\Gamma \in [1/6, 1/2]$  از دیدگاه اختلاط سیال قابل توجه نیست؛ حتی اگر



شکل ۴. رفتار سیال در نزدیکی نقطه هیربولیک.



شکل ۵. ساختار کلی یکی از مقاطع پوانکاره‌ی همزن.

مجزا تقسیم کرد:

۱. سیال داخل ناحیه‌ی اختلاط؛
  ۲. سیال داخل حوزه‌ی تأثیر نقاط بیضوی.
- بدلیل آن‌که اختلاط در ناحیه‌ی اختلاط روی می‌هد، هر چه وسیع تر کردن این ناحیه منجر به افزایش راندمان همزن خواهد شد. سیالی که

منظور، ابتدا تابع جریان محاسبه شد. سپس با مشتق‌گیری و بی‌بعدسازی، معادلات حاکم بر میدان سرعت سیال داخل همنز، به دست آمدند. برای تعیین مقاطع پوانکاره همنز، نقطعه با فواصل مساوی روی محور  $\Gamma$  در فاصله ۲ تا ۲- انتخاب شدند و مقاطع پوانکاره مربوط به ۲۰۰ سیکل نوسان قدرت گردابه‌ها به روش عددی محاسبه شدند. بررسی این مقاطع نشان داد که اغتشاشات هر قدر بزرگ‌تر باشند (بازه‌ی مورد مطالعه  $0 \leq \varepsilon \leq 0.1$  است)، ناحیه‌ی اختلاط وسیع‌تر خواهد بود؛ و در بازه‌ی مورد بحث، هنگامی همنز وسیع‌ترین ناحیه‌ی اختلاط را خواهد داشت، که زمان مشخصه‌ی اغتشاشات  $1/5$  برابر زمان مشخصه‌ی جریان زمینه باشد.

ناحیه‌ی اختلاط وسیع‌تری را شامل شود.

بررسی مقاطع پوانکاره در همنز نشان می‌دهد که در مقایسه با  $\Gamma$  بهینه،  $\Gamma'$  خیلی بزرگ یا خیلی کوچک منجر به ایجاد ناحیه‌ی اختلاط بسیار کوچکی خواهد شد. در چنین همنزی، رفتار سیال، مانند رفتار سیال در همنز بدون اغتشاش خواهد بود. بنابراین سیال در این همنز اغتشاشات را حس نخواهد کرد.<sup>[۵]</sup>

### نتیجه‌گیری

هدف این مقاله بررسی رفتار سیال، در یک همنز جریان پتانسیل دو بعدی، با قدرت‌های نوسانی در فضای نامحدود است. برای این

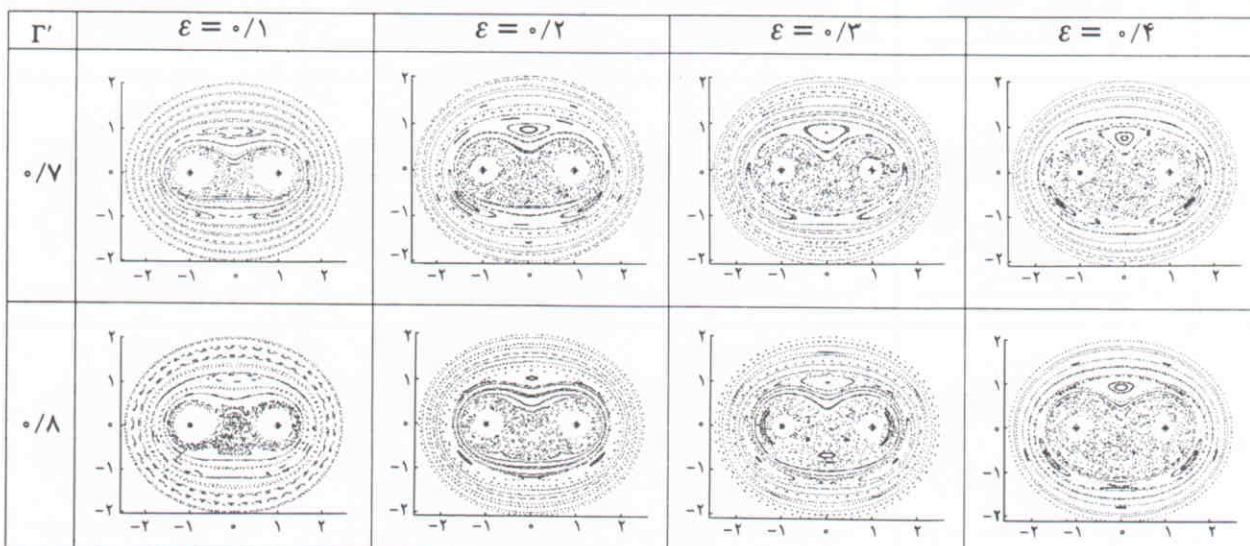
### پانوشت

1. mixing
2. stretching and folding
3. mixer
4. laminar flow
5. vorticity
6. morphology
7. vortex
8. stream function
9. hyperbolic point
10. stable manifold
11. unstable manifold
12. homoclinic point
13. horse shoe map
14. mixing zone

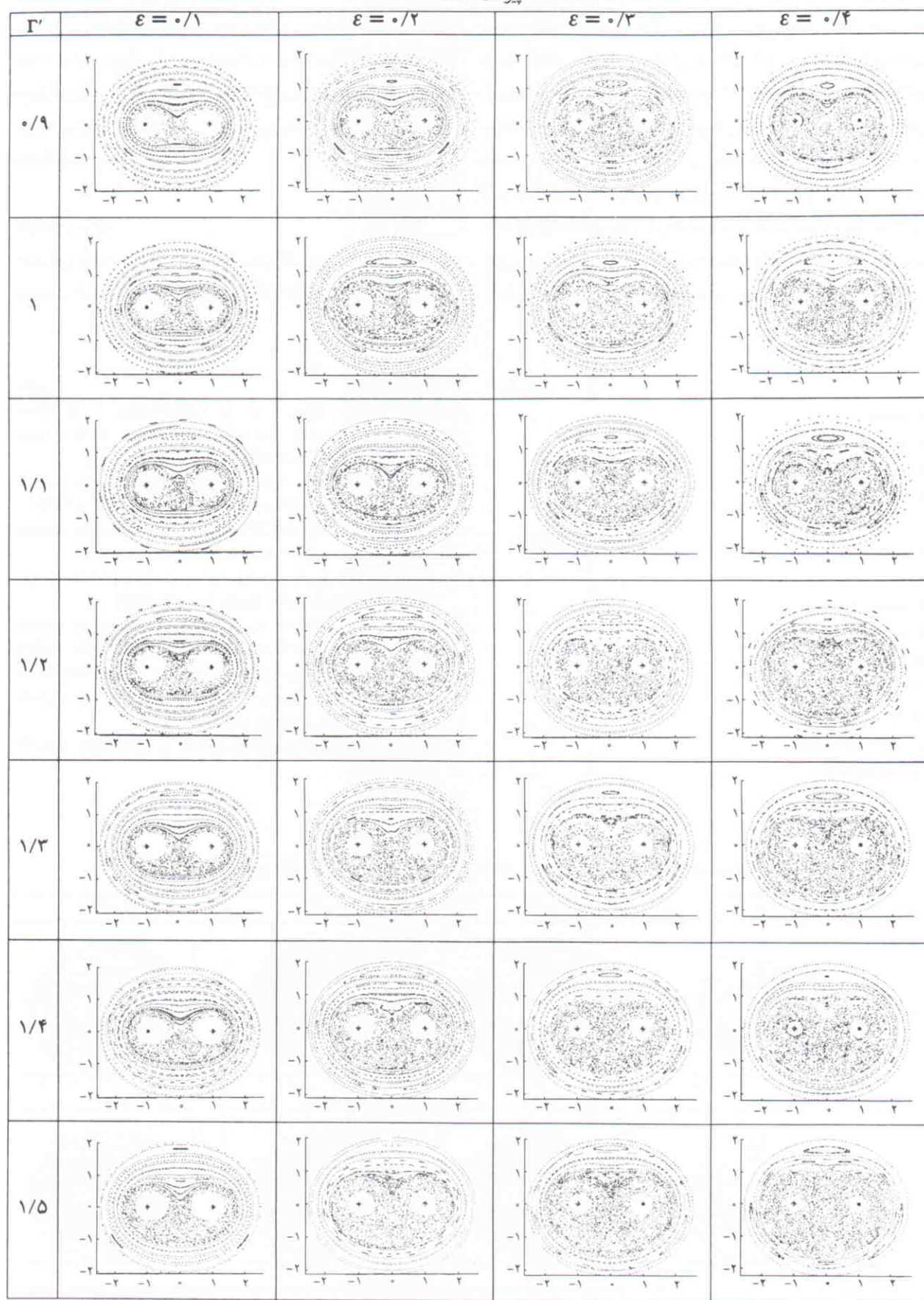
### منابع

1. Ottino, J. M., Jana, S. C. & Chakravarthy, V. S. "From Reynold's stretching and folding to mixing studies using horseshoe maps". *Phy. Fluids* 6, PP. 685-699, (1994).
2. Raynal, F. & Gence, J. N. "Energy saving in chaotic laminar mixing". *Int. J. Heat Mass Trans.* 40, PP. 3267-3273, (1997).
3. Ottino, J. M. The mixing of fluids. *Scientific American Annual*, (1989).
4. Jones, S. W. & Aref, H. "Chaotic advection in pulsed source-sink systems". *Phy. fluids* 31, 469. (1988).
5. Raynal, F. & Gence, J. N. "Efficient stirring in planar, time-periodic laminar flows". *Chem. Eng. Sci.* 50, 631. (1995).
6. Ottino, J. M., Leong, C. W., Rising, H. & Swanson, P. D. "Morphological structures produced by mixing in chaotic flows". *Nature* PP. 419-425, (1988).
7. Aref, H. "Stirring by chaotic advection". *J. Fluid Mech.* 143, PP. 1-21, (1984).

پیوست- مقاطع پوانکاره بر اساس تغییرات  $\varepsilon$  و  $\Gamma'$  این مقاطع به ازای ۲۰۰ سیکل نوسانی ارائه شده‌اند.



بیست-ادامه



پیوست - آدامه

